

# بررسی تجربی و عددی مشخصات آیرودینامیکی یک کپسول فضایی سیلندری در جریان‌های محوری مافوق و مادون‌صوت

سهیلا عبدالهی<sup>۱</sup>

پژوهشگاه هوافضا

وزارت علوم، تحقیقات و فناوری

(تاریخ دریافت: ۹۴/۹/۱؛ تاریخ پذیرش: ۹۴/۱۰/۱۵)

## چکیده

در این تحقیق، مشخصات آیرودینامیکی یک کپسول فضایی در رژیم‌های جریانی مختلف با استفاده از ابزار آزمایشگاهی تونل باد و شبیه‌سازی عددی مورد مطالعه قرار گرفته است. مدل ساده‌شده کپسول فضایی موردنظر بهصورت یک سیلندر بدون دماغه با سر پخ و ضریب باریک‌شوندگی ۳ درنظر گرفته شده است. در مرحله اول مدل سیلندر در تونل باد سه‌منظوره در جریان‌های محوری مادون و مافوق‌صوت برای زوایای حمله مختلف مورد آزمایش قرار گرفته و ضرایب نیروهای آیرودینامیکی و ممان پیچشی از طریق یک بالانس ۶ مؤلفه داده‌داری شده است. در آزمایش‌های تونل باد از طریق تکنیک تصویربرداری شیلیرین نحوه شکل‌گیری شوک کمانی منفصل، موقعیت و قدرت شوک در سرعت‌های مختلف آشکارسازی شده است. در مرحله بعد، به‌منظور ارزیابی دقت روش عددی در حل این مسئله، از مدل‌سازی عددی برای تعیین مشخصات آیرودینامیکی مدل موردنظر استفاده شده و نتایج آن در قالب ضرایب آیرودینامیکی، آشکارسازی جریان، موقعیت و فاصله امواج شوک با نتایج آزمایش تونل باد مقایسه و دقت خوبی را نشان می‌دهد. نتایج نیرویی نشان می‌دهد که بدنه سیلندری با سر پخ و ضریب باریک‌شوندگی پایین دارای ضریب نیروی پسای قابل توجهی است، به‌نحوی که می‌توان از این ویژگی برای کاهش سرعت کپسول فضایی در فاز بازگشت به زمین استفاده نمود. آشکارسازی جریان نیز نشان می‌دهد که موقعیت و قدرت امواج ضربه‌ای با تعییرات سرعت تغییر نموده به‌طوری‌که فاصله شوک منفصل از لبه حمله سیلندر با افزایش عدد ماخ کاهش یافته و موج شوک کمانی قوی‌تری پدید آورده و همچنین موج ضربه‌ای نیز مایل‌تر شده است.

**واژه‌های کلیدی:** کپسول فضایی سیلندری، مشخصات آیرودینامیکی، آشکارسازی جریان، تونل باد، حل عددی

## Experimental and Numerical Investigation of Aerodynamic Characteristics of a Circular Cylinder in an Axial Flow

S. Abdolahi

Aerospace Research Institute

Ministry of Science, Research, and Technology

(Received: 22/November/2015; Accepted: 5/ January/2016)

## ABSTRACT

In this study, aerodynamic characteristics of a circular cylinder in an axial flow have been investigated numerically and experimentally. The model has been considered as a cylinder with truncated nose and fineness ratio of 3 (length to diameter ratio of 3). The investigation involves a series of wind tunnel measurements, flow visualization, and numerical simulation. We used different Mach numbers, ranging from 0.3 to 2.4, to cover subsonic, transonic, and supersonic flows. The flow visualization through Schlieren imaging was performed at supersonic flow to study separation bubble and shock wave formation on cylindrical body. Axial force coefficient results show that this unconventional shaped cylindrical body with truncated nose and low fineness ratio has significant drag value, which is an order of magnitude larger than most high fineness ratio and pointed nose cylindrical bodies. The results show that by increasing Mach number, the shock stand-off distance is decreased and the strength of the shock is increased. The comparison between numerical and wind tunnel test results shows good agreements with reasonable accuracy to estimate aerodynamic force coefficients and flow structure.

**Keywords:** Cylindrical Model, Aerodynamic Characteristics, Flow Visualization, Wind Tunnel, Numerical Simulation

علاوه بر این، مطالعات کاربردی نیز در این زمینه انجام شده است. یک بدنه سیلندری شکل در جریان محوری نمایانگر پیکره‌ای است که در وسایل نقلیه هوایی کاربردهای فراوانی دارد. بیشتر بدنه‌های سیلندری در کاربردهای هواشناسی به‌گونه‌ای طراحی شده‌اند که دارای ضریب لاغری<sup>۲</sup> (نسبت طول به قطر) بالا باشند تا از این طریق مقدار نیروی پسا کاهش یافته و عملکرد وسیله پرنده بهبود یابد [۷]. با این حال، توسعه بدنه‌های سیلندری برای اهداف مختلف با کاربردهای متعدد سبب شده است تا پیکره‌بندی‌هایی طراحی شود که از لحاظ آبودینامیکی ایده‌آل نیستند و مطالعاتی نیز در این زمینه انجام شده است [۸].

در سال ۲۰۰۶ هیگوچی<sup>۳</sup> و همکارانش رفتار جریان حول بدنه‌های سیلندری با ضریب لاغری بالا را بررسی نموده‌اند [۹]. در این تحقیق نحوه شکل‌گیری حباب جدایش در لبه حمله سیلندر، گسترش آن روی بدنه و پیوستن مجدد لایه برشی به بدنه‌های سیلندری با ضریب لاغری مختلف مورد بررسی قرار گرفت. نتایج نشان داد با کاهش ضریب لاغری، حباب جدایش ایجاد شده از لبه سیلندر روی بدنه توسعه می‌یابد و لایه برشی دیگر به بدنه سیلندر نمی‌چسبد. بلکه<sup>۴</sup> و همکارانش نیز در سال ۲۰۰۶ [۱۰] تعدادی آزمایش تجربی روی دو مدل سیلندر با دماغه‌هایی به‌شکل اوچایو و نیم کره و یک سیلندر بدون دماغه با لبه تیز، با جریان محوری در تونل باد سرعت پایین نیروی هوایی آمریکا انجام داده‌اند. در این نتایج که در جریان با ماخ ۰/۵۵ و زاویه حمله صفر تا ۸۰ درجه آزمایش شده، مدل سیلندر بدون دماغه نسبت به دو مدل دیگر از نیروی پسای بالاتری برخوردار است. همچنین، نتایج نشان می‌دهد که نیروی لیفت و ممان پیچشی برای سیلندر با دماغه به‌شکل اوچایو و کروی یکسان است ولی سیلندر بدون دماغه نیروی لیفت کمتر و ممان پیچشی بیشتری در جهت پایداری وسیله دارد.

در تحقیق دیگر برای حذف اثر متعلقات آزمایش تونل باد مانند نگه‌دارنده مدل و بالانس از روش‌هایی مغناطیسی برای معلق ذکر شده، تأثیر نسبت طول به قطر استوانه بر نیروی پسا در دو مدل تونل باد مورد مطالعه قرار گرفت [۱۲]. در بررسی دیگر در سال ۲۰۰۹ [۱۳] مطالعات آبودینامیکی روی چندین بدنه موشک با اشکال سیلندری نامتعارف با ضریب لاغری ۸ در

فهرست علائم و اختصارات	
C <sub>A</sub>	ضریب نیروی محوری
C <sub>M</sub>	ضریب ممان پیچشی
C <sub>N</sub>	ضریب نیروی نرمال
D	قطر سیلندر

علائم یونانی	
δ	فاصله شوک کمانی منفصل از سرسیلندر (متر)
β	زاویه انحراف شوک (درجه)

### ۱- مقدمه

هدف از این تحقیق، تعیین مشخصات آبودینامیکی یک کپسول فضایی با بدنه سیلندری شکل می‌باشد. مشخصات آبودینامیکی سیلندر با جریان محوری در برخی از کتابهای مرجع موجود است [۱] و مطالعات مختلفی در این زمینه صورت گرفته است. به عنوان نمونه، یکی از مسائلی که در جریان محوری حول سیلندر دایره‌های با لبه‌های تیز مورد توجه محققان قرار گرفته است، مسئله جدایش جریان از سطح و بازگشت مجدد آن به سطح است که در مشخصات آبودینامیکی مؤثر است. این مسئله برای اولین بار در سال ۱۹۷۵ توسط شخصی به نام اتا<sup>۱</sup> مورد بررسی قرار گرفت [۲-۳]. در این تحقیق جریان جداسده و مجدد متصل شده به بدنه سیلندر دایره‌های با تقارن محوری به صورت تجربی مدل‌سازی شده و طول برگشت آن اندازه‌گیری شده است. همچنین، در این تحقیق داده‌های میدان فشار، سرعت نوسانی و متوسط زمانی اندازه‌گیری و محاسبه شده است. در تحقیقات جداگانه‌ای که بر سیلندر با جریان محوری و لبه تیز در رینولدز ۴۰,۸۰۰ تا ۶۰,۰۰۰ [۲] و همچنین، در رینولدز ۱۰۰,۰۰۰ [۴] انجام شد، مشخص گردید یکی از ویژگی‌های طول بازگشت جریان جداسده از روی سطح سیلندر در جریان آشفته، مستقل بودن آن نسبت به عدد رینولدز است. طول بازگشت جریان جداسده از روی سطح سیلندر در نتایج این تحقیقات برابر ۱/۶ قطر گزارش شده است. علاوه بر مطالعات آزمایشگاهی، از روش‌های عددی نیز برای شبیه‌سازی جریان روی سیلندر استفاده شده است [۵]. در همین سال‌ها، اتا و همکارانش در تحقیق دیگر انتقال حرارت در جریان حول سیلندر پخ را مورد مطالعه قرار داده‌اند [۶].

2- Fineness Ratio

3- Higuchi

4- Blake

1- Ota

آیرودینامیکی کپسول‌های فضایی و تعیین پایداری آنها کاربرد قابل توجهی دارد. کپسول‌های فضایی وسایلی هستند که تجهیزات، حسگرها و ابزار اندازه‌گیری علمی و تحقیقاتی را با خود تا ارتفاعات موردنظر در فضا حمل می‌کنند و نتایج آزمایش‌هایی را که در ارتفاعات بالا انجام می‌شود، ثبت و به زمین ارسال می‌کنند. این کپسول‌ها توسط موتور به فضا ارسال شده و پس از پایان سوخت موتور و پیش از ارتفاع اوج از موتور جدا می‌شوند و بعد از مدت زمانی حدود ۲۰ دقیقه (این مدت برای مأموریت مختلف متفاوت است) به وسیله چتر فرود می‌آیند و بازیابی می‌شوند. از الزامات اصلی بازیابی کپسول‌های فضایی این است که کپسول بتواند در مسیر بازگشت به زمین، کاهش سرعت موردنظر را داشته باشد تا سرعت آن به حد مناسب برای بازشدن چترهای ترمزی سامانه بازیابی برسد. ستاریوها و روش‌های مختلفی در طول فاز بازیابی برای کاهش سرعت محموله‌های فضایی زیرمداری، مورد استفاده قرار می‌گیرد تا از این طریق بتوان شرایط مناسب و امنی را برای بازیابی محموله فضایی فراهم نمود. از جمله این روش‌ها می‌توان به استفاده از چترهای ترمزی مافق صوت، استفاده از صفحات ترمزی آیرودینامیکی [۲۰] و یا روش بازیابی افقی محموله [۲۱-۲۲] اشاره کرد. در تمامی این روش‌ها نیروی پسا در فاز بازیابی به حد قابل توجهی افزایش می‌یابد تا مانند ترمزی از سرعت محموله فضایی بکاهد. استفاده از هریک از این روش‌ها پیچیدگی خاص خود را دارد و در مواردی نیز مانند چترهای مافق صوت از تکنولوژی و هزینه بالایی برخوردار است.

در این تحقیق از یک طرح جدید و کم‌هزینه استفاده شده است که پیچیدگی و هزینه زیاد روش‌های ذکر شده قبلی را ندارد و کپسول سیلندری بعد از جداسدن از دماغه و موتور، بازیابی می‌شود. در این طرح کپسول فضایی در انتهای فاز اوج گیری، از موتور و دماغه خود جدا می‌شود و به‌شکل یک سیلندر با دو سر پخ در می‌آید. عدم وجود دماغه روی بدنه سیلندر در مسیر بازگشت به زمین، شرایط را برای عدم چرخش کپسول حول محور عرضی خود فراهم می‌نماید. همچنین، این طرح قابلیت این را دارد تا با استفاده از بالک‌های پایدارکننده ساده و بدون آن که از مکانیزم‌های کنترلی فعال پیچیده با تکنولوژی بالا و گران استفاده نماید، مأموریت خود را بدون چرخش و دوران حول محور عرضی خود به صورت پایدار به‌پایان رساند [۱۶] که در ادامه مقاله شرح داده خواهد شد.

مرکز مهندسی، توسعه و تحقیق موشك آمریکا انجام شده است. این مطالعات در سرعت جریان مختلف شامل جریان مادون صوت و مافق صوت و در زوایای حمله صفر تا ۳۰ درجه با روش‌های مختلف تجربی، عددی و نیمه‌تجربی انجام شده و دقت این روش‌ها برای پیش‌بینی ضرایب آیرودینامیکی در هندسه‌های نامتuarف و پخ موربد بررسی قرار گرفته است. نتایج این تحقیق به صورت ضرایب آیرودینامیکی نیرو و ممان پیچشی و همچنین، مرکز فشار آیرودینامیکی ارائه و با یکدیگر مقایسه شده است.

در سال‌های اخیر برای اولین بار در کشور، به‌منظور بررسی مشخصات آیرودینامیکی یک کپسول فضایی زیرمداری حامل سرنوشن به‌شکل سیلندر با سر پخ، مدل‌هایی از سیلندر مورد مطالعه آیرودینامیکی قرار گرفته است. در یک مطالعه، برای شبیه‌سازی جریان حول سیلندر در جریان مافق صوت از روش‌های عددی و نیمه‌تجربی استفاده شده و نتایج با یکدیگر مقایسه شده است. در این تحقیق اثر حذف گوشه‌های تیز در مدل سیلندر نیز بررسی شده و نشان داده شد که سیلندر با لبه حمله تیز پایداری استاتیکی بهتری برای وسیله پرنده برقرار می‌نماید [۱۴]. در بررسی دیگر سیلندر با لبه‌هایی به‌شکل مختلف پخ و نوک تیز، در نظر گرفته شده و ضرایب آیرودینامیکی آنها با یکدیگر مقایسه شده است. نتایج این مقاله نشان می‌دهد سیلندر با لبه حمله تیز دارای امواج ضربه‌ای قوی‌تر بوده است، از این‌رو نیروی پسی بیشتری تولید می‌نماید [۱۵]. در تحقیقی دیگر برای حذف اثر نگه‌دارنده‌های مدل و بالانس در آزمایش تونل باد، تست پروازی در شرایط گذر صوت استفاده شده و نتایج آن با نتایج حل عددی مقایسه شده است [۱۶]. از موضوعات دیگر، محاسبه شار حرارتی تولید شده روی سیلندر بدون دماغه در سرعت‌های بالا است. در این تحقیق، گرمایش آیرودینامیکی محمولة سیلندری و اجزای خارجی متصل به آن در فاز خروج و بازگشت به جو تحلیل و محاسبه شده است [۱۷]. همچنین، مشخصات آیرودینامیکی کاوشگر فضایی سیلندری شکل به روش تجربی استخراج و نتایج آن در کنفرانس‌های معتبر ارائه شده است [۱۸-۱۹]. همان‌طور که مشاهده می‌شود، تحقیقات روی سیلندر بدون دماغه با جریان محوری در سال‌های اخیر نیز ادامه داشته و از موضوعات کاربردی در ایران بوده است. تحقیق حاضر در خصوص تعیین مشخصات آیرودینامیکی یک بدنه پخ سیلندری شکل با ضربی لاغری پایین است که در طراحی

## ۲- تجهیزات آزمایشگاهی و مشخصات مدل

آزمایش تجربی موردنظر در یک تونل باد سهمنظوره که دارای سه رژیم کاری مادون صوت، حدود صوت و مافوق صوت از نوع مکشی با عملکرد دائمی است، انجام شده است. محفظه آزمون این تونل باد به ابعاد  $m \times 0.6 \times 0.6 \times 0.14$  می‌باشد. عدد رینولوز این تونل بین  $6/37$  تا  $70$  میلیون بر واحد متر است. همچنین، محدوده عدد ماخ در این تونل بین  $0.3/0.5$  تا  $0.5/0.7$  می‌باشد. شدت آشفتگی جریان اندازه‌گیری شده در تونل باد، بسته به عدد ماخ از  $0.3/0.5$  تا  $0.4/0.7$  درصد است. دیواره این تونل دارای مجراهایی است که علاوه‌بر پایدارترنمودن موج ضربه‌ای، از انعکاس موج حاصل از برخورد با دیواره و برگشت آن بر روی مدل جلوگیری می‌نماید. آزمایش تونل باد روی مدلی از سیلندر با سر پخ و با نسبت طول به قطر  $3$  انجام شده است. طول مدل اصلی کپسول  $610$  میلی‌متر در پرواز واقعی  $1830$  میلی‌متر و قطر آن  $0.082$  میلی‌متر بوده است [۱۶]. مدل آزمایش تونل باد با مقایسه  $1/0.082$  ساخته شده است. ابعاد مدل آزمایش تونل باد در جدول  $1$  ارائه شده است. داده‌های ضرایب آیرودینامیکی ارائه شده در این مقاله با استفاده از قطر و سطح مقطع استوانه به عنوان طول و سطح مرجع، بی‌بعد شده است. در شکل  $1$  محفظه آزمون و مدل نصب شده در آن نشان داده شده است. داده‌های آزمایش تونل باد به وسیله یک بالانس  $6$  مؤلفه که در درون مدل جاسازی شده، جمع‌آوری شده است.

**جدول (۱):** ابعاد مدل در آزمایش تونل باد و حل عددی.

ردیف	قطر (m)	طول (m)	سطح مقطع ( $m^2$ )
مدل تونل باد	$0.05$	$0.15$	$0.00196$
مدل عددی	$0.610$	$1.83$	$0.2922$

سرعت جریان تونل باد، در زمان داده‌برداری معادل ماخ  $0.3/0.6$ ،  $0.9/1.5$  و  $2/4$  تنظیم شده است تا شرایط جریان مادون صوت، گذر صوت و مافوق صوت پوشش داده شود. زوایای حمله برای جریان مادون صوت از صفر تا  $90$  درجه و برای جریان گذر صوت و مافوق صوت از صفر تا  $30$  درجه آزمایش شده است که دلیل آن در قسمت بعد شرح داده خواهد شد. شرایط آزمایش تونل باد به صورت خلاصه در جدول  $2$  ارائه شده است.

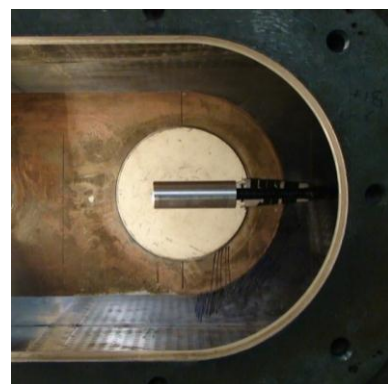
علاوه‌بر این سر پخ دیگر بدنۀ سیلندری که رو به جریان قرار دارد نیز در فاز بازگشت به زمین، نیروی پسای آیرودینامیکی بالایی را تولید می‌نماید که در کاهش سرعت کپسول در فاز بازگشت به زمین مؤثر است. این نیروی پسای آیرودینامیکی سرعت کپسول را تا سرعت حدی چترهای مادون صوت کاهش می‌دهد. این شیوه برای محموله‌های فضایی زیرمداری که حساس به چرخش هستند مانند کپسول فضایی حامل سرنشین موجود زنده، با هزینه کم قابل استفاده است.

باتوجه به اهمیت صنعتی و کاربردی بودن این تحقیق و همچنین، بازیابی و حفظ سلامت محموله و یا موجود زنده سرنشین این کپسول فضایی، در اختیار داشتن داده‌های معتبر تجربی آیرودینامیکی از این کپسول فضایی الزامی است. از مهم‌ترین داده‌های تجربی آیرودینامیکی لازم برای تکمیل این مأموریت فضایی، در حوزه‌های مختلف آیرودینامیک، دینامیک پرواز، کنترل و سازه، ضرایب آیرودینامیکی نیرو و ممان پیچشی در سرعتها و زوایای حمله مختلف و همچنین، تخمین دقیق موقعیت و شکل امواج شوک می‌باشد. باتوجه به عدم وجود داده‌های تجربی جامع معتبر در سه رژیم صوتی برای سیلندر با نسبت لاغری  $3$  در جریان محوری و همچنین، بالا بودن ریسک استفاده از برخی داده‌های آزمایشگاهی موجود بهدلیل خطرات جانی برای سرنشین کپسول و یا شکست مأموریت، آزمایش‌هایی برای یک مدل سیلندر مشابه در تونل باد سه منظوره در جریان مادون صوت، گذر صوت و مافوق صوت به منظور تعیین مشخصات آیرودینامیکی و پایداری یک کپسول فضایی سیلندری شکل بدون دماغه<sup>۱</sup> و ضریب لاغری کم انجام شد. هدف دیگر این تحقیق باتوجه به هزینه‌های زیاد آزمایش‌های تونل باد، دستیابی به روش‌های عددی مطمئن برای تهیه و ارائه بانک اطلاعاتی در محدوده وسیع‌تری از سرعت، ارتفاع و زاویه حمله می‌باشد. همچنین، باتوجه به یافته‌های تحقیق شده از ساختار و پدیده‌های جریان به وسیله تکنیک آشکارسازی جریان در آزمایش تونل باد (شامل امواج شوک، قدرت و موقعیت شوک و جدایش جریان)، در این تحقیق دقت روش عددی در شکل گیری امواج فشاری، قدرت شوک کمایی، تخمین صحیح موقعیت شوک منفصل، فاصله آن نسبت به سیلندر، تحقیق و اعتبارسنجی می‌شود که تاکنون در تحقیقات پیشین به این موضوع پرداخته نشده است.

از نتایج متوسط برای داده نیروی محوری در جریان مافق صوت  $\pm 0.08$  و در جریان مادون صوت  $\pm 0.03$  می‌باشد.

جدول (۳): بازه اندازه‌گیری بالانس و خطای آن در هر مؤلفه.

خطا	بازه	نیرو و ممان
$\pm 0.49$	Kgf ۱۰ - تا ۱۰	نیروی نرمال
$\pm 0.11$	Kgf ۹ - تا ۰	نیروی محوری
$\pm 0.52$	Kgf.m ۱ - تا ۱	ممان پیچشی



شکل (۱): مدل و مکانیزم نگهدارنده در محفظه آزمون تونل باد.

#### ۴- نتایج آزمایش تونل باد

در این بخش ضرایب آیرودینامیکی و گشتاورپیچشی به دست آمده از آزمایش تونل باد کپسول سیلندری در جریان محوری در قالب نمودار ارائه شده است. نیروهای آیرودینامیکی، ضریب نیروی نرمال  $C_N$  و ضریب نیروی محوری  $C_A$ ، به صورت تابعی از زاویه حمله گزارش شده است. بخشی از این نتایج در مقاله کنفرانس مرجع [۱۶] ارائه و با نتایج به دست آمده از روش نیمه تجربی و داده‌های تست پروازی مقایسه شده است.

شکل ۲ نمودار ضریب نیروی نرمال  $C_N$  و ضریب نیروی محوری  $C_A$  را در ماخ زیر صوت  $0.3$  برای زاویه حمله صفر تا  $90^\circ$  درجه نشان می‌دهد. همان‌طور که مشاهده می‌شود، مقدار ضریب نیروی محوری  $C_A$  در زوایای حمله پایین تا حدود  $15^\circ$  درجه، تقریباً ثابت است و پس از آن با افزایش زاویه حمله  $C_N$  شروع به کاهش می‌کند. از طرف دیگر، ضریب نیروی نرمال  $C_N$  با افزایش زاویه حمله افزایش می‌یابد به طوری که برخلاف نیروی محوری در زاویه حمله  $60^\circ$  درجه به حداقل مقدار خود می‌رسد. همچنان، تغییرات  $C_N$  برای زوایای حمله بالای  $60^\circ$  درجه بسیار کم است. این نکته قابل ذکر است که نیروی نرمال، در زوایای حمله بالا حدود  $90^\circ$  درجه، هم‌راستا با جریان است. افزایش زاویه حمله، سبب افزایش اختلاف فشار بین دو سطح می‌شود. این عامل ضریب نیروی نرمال را افزایش می‌دهد. در زاویه حمله  $90^\circ$  درجه این دو سطح شامل یک سطح کاملاً رو به جریان و دیگری در پشت سیلندر، در ناحیه کم‌فشار دنباله است که باعث می‌شود ضریب نیروی نرمال قابل توجهی ایجاد شود.

شکل ۳ نمودار ضریب نیروی نرمال  $C_N$  و ضریب نیروی محوری  $C_A$  را در ماخ زیر صوت  $0.6$  نشان می‌دهد. روند

برای طراحی دقیق‌تر کپسول فضایی، نیاز به بررسی پدیده‌های جزئی جریان است. به همین منظور، در این تحقیق از روش آشکارسازی جریان استفاده شده است. بخشی از دیواره‌های محفظه آزمون تونل باد دارای پنجره‌هایی از جنس شیشه‌های نوری می‌باشد که امکان بهره‌گیری از روش‌های آشکارسازی از جمله سایه‌نگاری و شیلیرین را فراهم می‌نماید. سیستم شیلیرین، مشکل از یک پروژکتور مولد نور مرکز موازی، دو آینه مقعر به قطر  $30$  سانتی‌متر و یک دوربین فیلمبرداری با سرعت  $24$  تصویر در ثانیه است. در این روش می‌توان امواج فشاری و امواج انبساطی ایجاد شده و همچنین، نواحی حباب جدایش را در جریان مافق صوت مشاهده نمود.

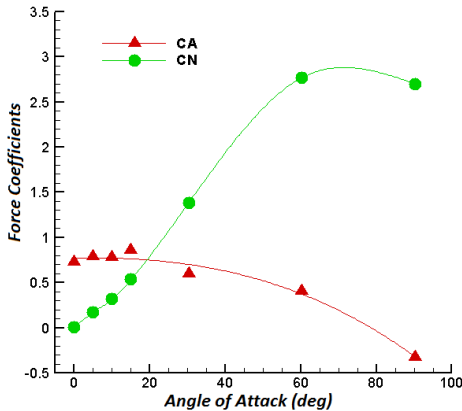
جدول (۲): شرایط انجام آزمایش تونل باد.

زاویه حمله (درجه)	Re/L	عدد ماخ
$-90$	۵۶۹۱۱۱۵	$0/3$
$-90$	۹۷۴۷۳۴۵	$0/6$
$-30$	۱۱۴۸۰۰۴۵	$0/9$
$-30$	۹۸۴۷۰۶۳	$1/5$
$-30$	۴۸۱۹۵۲۱	$2/4$

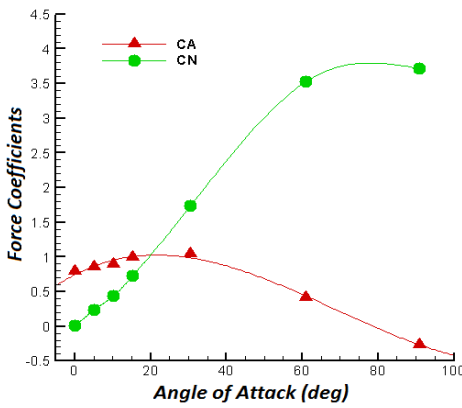
#### ۳- تحلیل خطای

همان‌طور که گفته شد داده‌های آزمایش تونل باد به وسیله یک بالانس  $6$  مؤلفه که در درون مدل جاسازی شده جمع‌آوری شده است. داده‌های جمع‌آوری شده دارای عدم قطعیتی ناشی از اندازه‌گیری‌های بالانس می‌باشد. بازه اندازه‌گیری بالانس نیرو و ممان و خطای آن در هر مؤلفه در جدول ۳ ارائه شده است. به منظور تکرار پذیری نتایج، هر کدام از آزمایش‌ها طی سه تکرار انجام شده است. نتایج نشان می‌دهد که حداقل خطای انحراف

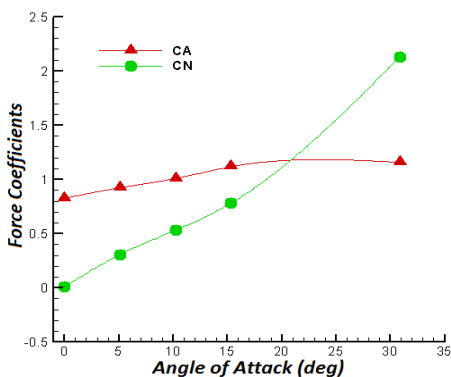
سیلندر تحمل نماید که برآیند آن نیروی محوری بالای تولید می‌نماید.



شکل (۲): نمودار ضریب نیروی نرمال و محوری از داده‌های تونل باد در ماخ  $0.3$ .



شکل (۳): نمودار ضریب نیروی نرمال و محوری از داده‌های تونل باد در ماخ  $0.6$ .



شکل (۴): نمودار ضریب نیروی نرمال و محوری از داده‌های تونل باد در ماخ  $0.9$ .

تغییرات این ضرایب مشابه شکل ۲ است با این تفاوت که مقادیر نیروی نرمال در هر زاویه حمله، در ماخ  $0.6$  نسبت به ماخ  $0.3$ ، افزایش قابل توجهی دارد. همان‌طور که مشاهده می‌شود، در زاویه حمله  $5$  درجه مقدار  $C_N$  در ماخ  $0.3$  معادل  $0.17$  و در ماخ  $0.6$  معادل  $0.236$  در ماخ  $0.6$  معادل  $0.27$  و در ماخ  $0.9$  معادل  $0.37$  است. در حقیقت افزایش سرعت در زاویه حمله، سبب افزایش اختلاف فشار بین دو سطح شده است که مقادیر  $C_N$  بیشتری ایجاد می‌کند.

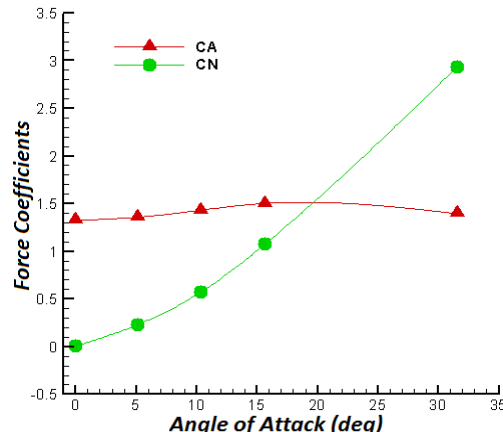
شکل ۴ نیز نتایج  $C_A$  و  $C_N$  را در شرایط گذر صوتی با ماخ  $0.9$  برای زاویه حمله صفر تا  $30$  درجه ارائه می‌کند. این جریان گذار شرایط ناپایداری را به جریان اعمال می‌کند که نوسانات شدیدی را به مدل الگا می‌نماید. همین عامل در این آزمایش سبب شد تا در زاویه حمله بالاتر از  $30$  درجه، نوساناتی به مدل و پایه نگهدارنده آن القاء گردد. این نوسانات مانع از داده‌برداری صحیح می‌شود و از سوی دیگر می‌تواند باعث شکستگی یا هرگونه خرابی در نگهدارنده و بالانس و سایر تجهیزات متصل به مدل شود. از این‌رو آزمایش‌ها در ماخ  $0.9$  از زاویه حمله صفر تا  $30$  درجه انجام شده است.

شکلهای ۵-۶ ضرایب  $C_N$  و  $C_A$  را برای جریان مافوق صوت  $1/5$  و  $2/4$  نشان می‌دهد. طبق نمودار شکل ۶، برای جریان با ماخ  $2/4$ ، ضریب نیروی محوری  $C_A$  در زاویه حمله صفر درجه، در حدود  $95$  درصد نسبت به مقادیر معادل آن در جریان گذر صوت با ماخ  $0.9$  تغییر کرده و از مقدار  $0.82$  به مقدار  $0.16$  تغییر یافته است. البته این افزایش نیرو نسبت به جریان مادون صوت بسیار چشم‌گیرتر خواهد بود به طوری که، براساس داده‌های ارائه شده در نمودارها، ضریب نیروی محوری  $C_A$  در ماخ  $2/4$  با زاویه حمله صفر درجه در حدود  $119$  درصد نسبت به مقادیر معادل آن در جریان مادون صوت با ماخ  $0.9$  تغییر کرده و از مقدار  $0.73$  به مقدار  $0.16$  افزایش یافته است.

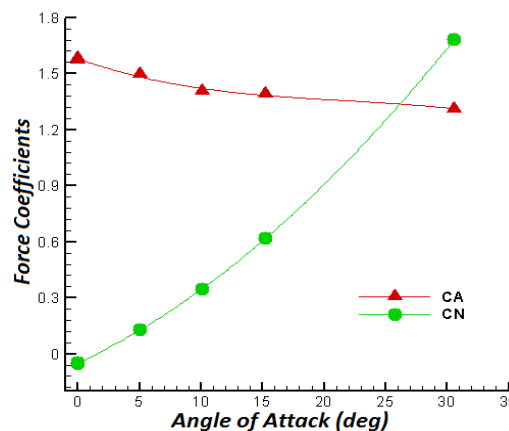
سیلندر در جریان مافوق صوت برخلاف جریان مادون صوت، باعث ایجاد موج ضربه‌ای بسیار قوی در بالادست جریان می‌شود. موج ضربه‌ای فشار جریان را به طور چشم‌گیری افزایش و سرعت جریان را کاهش می‌دهد. برای این مدل با سر پخ، ایجاد شوک قوی سبب افزایش ناحیه سکون و پرفشار در جلوی مدل می‌شود. این عامل سبب می‌شود صفحه جلویی سیلندر که رو به جریان است، جریان پرفشاری را در جهت محور بدنه

البته مدل استفاده شده در مرجع [۱۳] دارای ضریب لاغری بیشتری است ولی از آنجایی که عمدۀ نیروی پسا در زاویه حمله صفر ناشی از امواج فشاری سرسیلندر است، نتایج برای اعتبارسنجی نتایج تونل باد قابل مقایسه است.

شکل های ۸-۹ نیز نتایج ضریب ممان پیچشی  $C_M$  را بر حسب زاویه حمله به ترتیب برای جریان زیرصوت و مافوق صوت نشان می دهند. تمامی مقادیر ممان پیچشی نسبت به سرسیلندر محاسبه شده است. همان طور که مشاهده می شود با ایجاد زاویه حمله مثبت، ممان پیچشی در جهت منفی ایجاد شده و مقادیر قدرمطلق ممان پیچشی با افزایش زاویه حمله افزایش می یابد. این روند تغییرات، شبیه منفی را برای ممان پیچشی نشان می دهد که برای ایجاد پایداری استاتیکی بسیار مطلوب است. در کپسول های فضایی با محموله های حساس مانند کپسول های حامل سرنوشتین که جهت اعمال شتاب در سلامت موجود زنده بسیار اهمیت دارد، باید تا حد امکان از چرخش و سیله جلوگیری نمود تا جهت قرارگیری سرنوشتین نسبت به جهت پرواز تغییر نکند. این کار عموماً با به کارگیری سیستم های کنترلی فعال انجام می شود که از تکنولوژی پیچیده و پرهزینه ای برخوردار است. طرح کپسول سیلندری ارائه شده در این مقاله این قابلیت را دارد تا با به کارگیری بالک های آیرودینامیکی ساده و تعیین مرکز جرم مناسب، به طور غیرفعال و کم هزینه، پایداری کامل را برای وسیله در شرایط پرواز زیرمداری فراهم نمود [۱۶].



شکل (۵): نمودار ضریب نیروی نرمال و محوری از داده های تونل باد در ماخ ۱/۵.



شکل (۶): نمودار ضریب نیروی نرمال و محوری از داده های تونل باد در ماخ ۲/۴.

۵- آشکارسازی جریان مافوق صوت حول سیلندر

شکل ۱۰، تصویر شیلیرین از آشکارسازی جریان مافوق صوت حول مدل سیلندر در زاویه حمله صفر را نشان می دهد. همان طور که در این تصویر مشاهده می شود، به دلیل وجود جسم در مقابل جریان مافوق صوت یک موج ضربه ای ایجاد شده است. این موج ضربه ای متصل ایجاد می کند، دارای یک موج ضربه ای منفصل<sup>۱</sup> است. در این مدل، سر پخ کپسول سیلندری یک انحراف شدیدی را در جریان پدید می آورد که سبب ایجاد یک موج ضربه ای قوی منفصل در جلوی سیلندر می شود. این موج ضربه ای که به شکل قوسی در فاصله کمی از سرسیلندر قرار می گیرد به شوک کمانی<sup>۲</sup> [۲۳] معروف است.

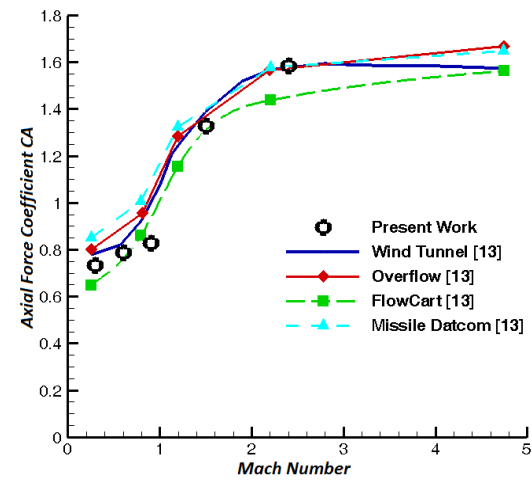
1- Detached Shock  
2- Bow Shock

در جریان مافوق صوت، شوک قوی ایجاد شده در جلوی سیلندر، سرعت جریان را نیز به طور چشم گیری کاهش می دهد. کاهش سرعت سبب جدایش جریان می شود. جدایش جریان باعث جدایش گردابه هایی از روی سطح بدنه می شود. با افزایش زاویه حمله، ناحیه جدایش جریان به لبۀ جلویی سیلندر نزدیک تر می شود و جدایش سریع تر اتفاق می افتد. ریزش گردابه در جریان پایین دست نوساناتی را روی بدنه مدل و نگه دارنده آن ایجاد می کند. این عامل مانع می شود که مدل با سرعت مافوق صوت، در زوایای حمله بالاتر از ۳۰ درجه آزمایش شود. زیرا نوسانات شدید از دقت نتایج کاسته و باعث شکست سازه، بالانس و سایر تجهیزات آزمایش می شود.

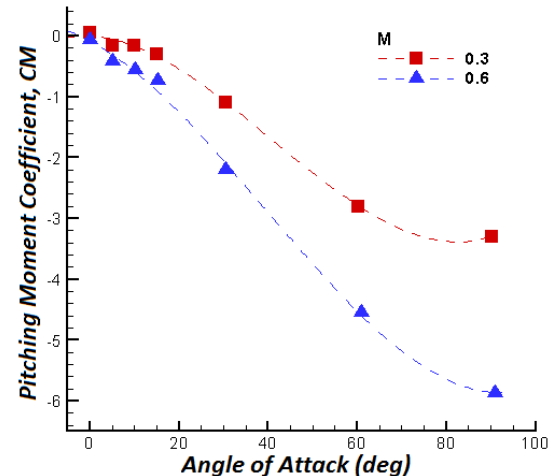
نتایج ضریب نیروی پسای محوری با نتایج حاصل از تحقیقات انجام شده در مرجع [۱۳] که با سه روش عددی و یک روش تونل باد استخراج شده، در شکل ۷ مقایسه شده است.

در موج کمانی ایجاد شده روی سیلندر، می‌توان موج نرمال، موج ضربه‌ای مایل و همچنین، موج ماخ را شناسایی کرد [۲۴]. در ناحیه کوچک A از شکل ۱۰ موج ضربه‌ای خواص موج نرمال را خواهد داشت. در این ناحیه موج ضربه‌ای به صورت تقریباً قائم قرار گرفته است به طوری که جریان بالادست بر امتداد موج عمود می‌باشد. این موج نرمال در فاصله مشخص  $\delta$  از سر سیلندر قرار می‌گیرد که در این مقاله در شرایط مختلف با دقت  $1/10$  میلی‌متر اندازه گیری و نتایج آن ارائه شده است. پشت شوک نرمال در ناحیه A، جریان مادون صوت است و سرعت جریان به مقادیر بسیار کم در جلوی سیلندر کاهش می‌یابد. بر عکس در این ناحیه، مقادیر فشار از فشار اتمسفر به مقادیر بزرگی افزایش می‌یابد. این عامل سبب می‌شود منطقه سکون قابل توجهی در جلوی سیلندر ایجاد شود که نیروهای فشاری زیادی در راستای محور بدن به بدن اعمال می‌نماید. با دورشدن از محور مرکزی سیلندر، موج ضربه‌ای ضعیفتر شده و به صورت منحنی درمی‌آید. در ناحیه B موج ضربه‌ای به شکل مایل و با یک زاویه تقریباً ثابت قرار گرفته است. بنابراین در این ناحیه جریان، موج ضربه‌ای مایل را تجربه می‌کند. قدرت شوک مایل با زاویه انحراف  $\beta$  مشخص می‌شود که در این مقاله در شرایط مختلف اندازه گیری و نتایج آن ارائه شده است. در ادامه در فاصله‌ای دورتر از مدل، از قدرت موج ضربه‌ای ایجاد شده در جریان کاسته شده و موج ماخ پدید می‌آید.

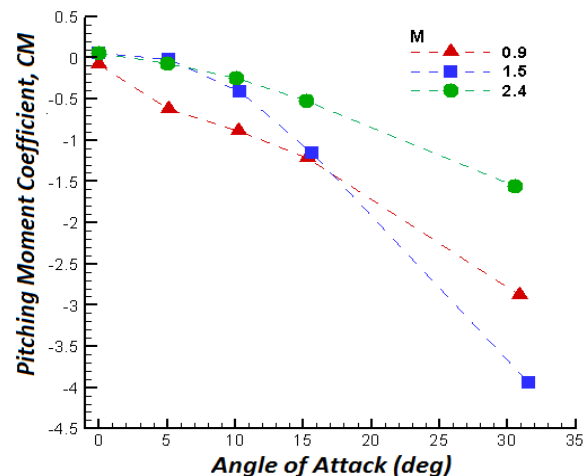
یکی از پارامترهایی که در تصاویر شیلرین مورد بررسی قرار گرفته فاصله شوک منفصل از سرسیلندر  $\delta$  می‌باشد که در ناحیه A مشاهده می‌شود. فاصله شوک منفصل از سرسیلندر  $\delta$  که در شکل ۱۰ در ماخ  $1/79$  و زاویه حمله صفر آشکارسازی شده، معادل  $0/0233$  متر است. این فاصله در ماخ  $1/98$  در شکل ۱۱ به مقدار  $0/0208$  متر رسیده است. با افزایش سرعت جریان، فاصله شوک از سرسیلندر حدود ۱۱ درصد کوچکتر شده است. این پدیده را می‌توان با افزایش سرعت جریان تا ماخ  $2/35$  در شکل ۱۲ با وضوح بیشتر مشاهده نمود. فاصله شوک منفصل در ماخ  $2/35$ ، تا مقدار  $0/0182$  متر کاهش یافته است. هرچقدر فاصله شوک  $\delta$  کمتر باشد، موج شوک قوی‌تری ایجاد می‌گردد. با کاهش  $\delta$  تولید گرمایش آیرودینامیکی و انتقال حرارت به بدن شدیدتر خواهد شد. این مسئله در طراحی بدنه آیرودینامیکی محموله‌هایی که برای مأموریت‌های زیرمداری به فضا ارسال می‌شوند بسیار حائز اهمیت است و



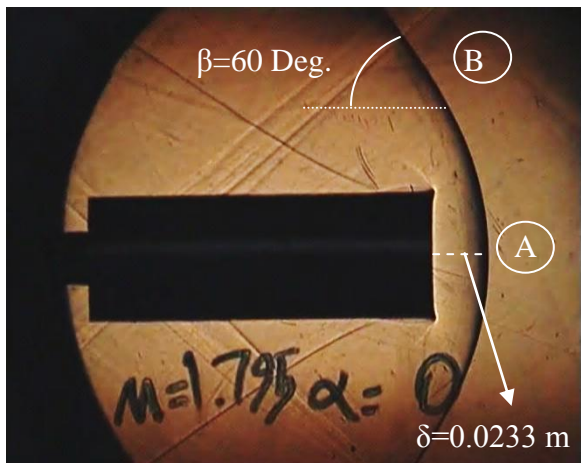
شکل (۷): مقایسه نتایج ضریب نیروی پسای محوری آزمایش تونل با نتایج سیلندر با ضریب لاغری ۸ در مرجع [۱۳].



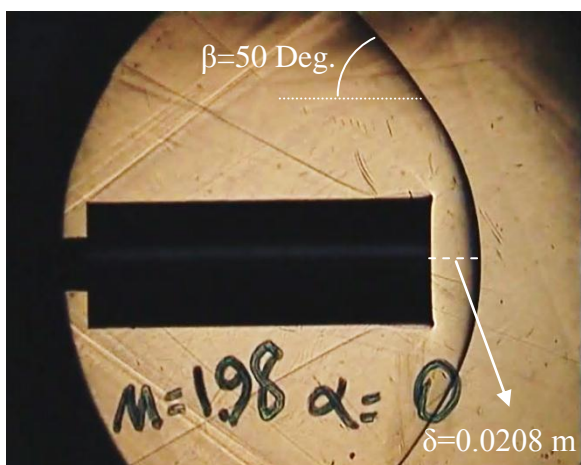
شکل (۸): نمودار ضریب ممان پیچشی از داده‌های تونل باد در ماخ  $0/3$  و  $0/6$ .



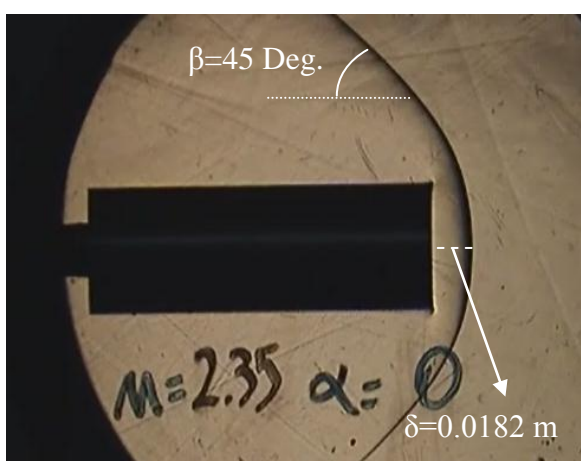
شکل (۹): نمودار ضریب ممان پیچشی از داده‌های تونل باد در ماخ  $0/9$ ،  $1/5$  و  $2/4$ .



شکل (۱۰): تصویر شیلیرین از جریان با ماخ  $1/795$  حول سیلندر در زاویه حمله صفر.



شکل (۱۱): تصویر شیلیرین از جریان با ماخ  $1/98$  حول سیلندر در زاویه حمله صفر.



شکل (۱۲): تصویر شیلیرین از جریان با ماخ  $2/35$  حول سیلندر در زاویه حمله صفر.

عموماً در چنین شرایطی با روش‌های حفاظت حرارتی<sup>۱</sup> و به کارگیری پوشش‌های عایق و یا پوشش‌های فداشونده<sup>۲</sup> از شدت انتقال حرارت به بدنه جلوگیری می‌شود [۲۵].

پارامتر دیگری که در تصاویر آشکارسازی جریان مورد بررسی قرار گرفته است، زاویه انحراف شوک مایل  $\beta$  می‌باشد. شوک مایل در ناحیه B از تصویر شکل ۱۰ اتفاق افتاده است. در تصویر شیلیرین شکل ۱۰ زاویه انحراف شوک مایل  $\beta$  در جریان با ماخ  $1/79$ ، حدود  $60^\circ$  درجه است که با افزایش سرعت جریان در تصاویر شکل‌های  $11-12$  تا ماخ  $1/98$  و  $2/35$  زاویه انحراف شوک کوچک‌تر شده و به ترتیب به زاویه  $50^\circ$  و  $45^\circ$  درجه رسیده است. بررسی تغییرات زاویه انحراف شوک نیز نشان می‌دهد با افزایش عدد ماخ بالادستی، زاویه شوک مایل  $\beta$  کاهش یافته و انحراف جریان نیز بیشتر شده است.

شکل ۱۳ تصویر شیلیرین از شکل گیری حباب جداشی<sup>۳</sup> در لبه حمله سیلندر را نشان می‌دهد. بعد از موج شوک قوى ایجاد شده در جلوی سیلندر، سرعت جریان مافق‌صوت به‌طور چشم‌گیری کاهش می‌یابد. کاهش سرعت در ناحیه پشت شوک سبب می‌شود، جداشی جریانی روی بدنه سیلندر پدید آید و لایه برشی از بدنه جدا گردد. در امتداد جریان بعد از اتصال مجدد لایه برشی به سطح بدنه، حباب جداشی و ناحیه‌ای از گردش جریان پدید می‌آید. این پدیده علاوه‌بر این که نیروی پسای بدنه را افزایش می‌دهد باعث جداشی گردابه‌هایی از روی سطح بدنه می‌شود که عامل ایجاد نوسان و ارتعاش در مدل می‌شود. نوسانات شدید از دقت نتایج کاسته و همچنین، باعث شکست سازه مدل و سایر تجهیزات آزمایش می‌شود. این پدیده سبب می‌شود در پرواز واقعی ناپایداری‌هایی به جریان اعمال شود که سبب ناپایداری دینامیکی محمولة فضایی می‌شود. علاوه‌بر این گردابه‌های جداشونده در بخش انتهایی بدنه می‌تواند عملکرد سطوح آبودینامیکی و کنترلی را که روی بدنه نصب می‌شوند تحت تأثیر قرار داده و بازیابی محمولة فضایی را به‌مخاطره بیندازد. از این‌رو چگونگی رشد لایه مرزی و جداشی جریان در طول این‌گونه بدنه‌ها بسیار حائز اهمیت است.

1- Thermal Protection System (TPS)

2- Ablative Heat Shield

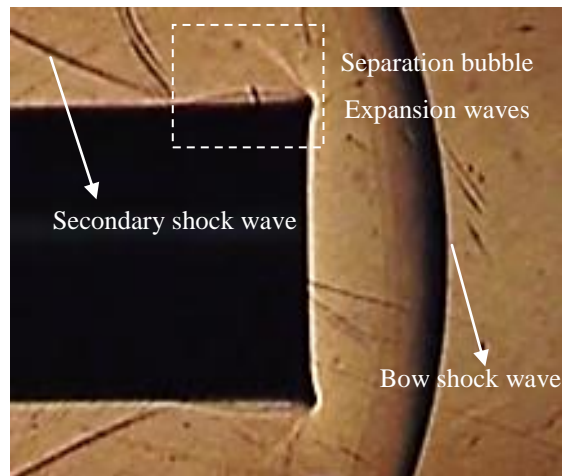
3- Separation Bubble

سلهای یکنواختی را ایجاد می‌کند. تعداد سلول‌های شبکه حدود سه میلیون سلول است. جدول ۴ نمونه‌ای از بررسی استقلال شبکه محاسباتی را در ماخ  $1/5$  و زاویه حمله صفر نشان می‌دهد. همان‌طور که مشاهده می‌شود با افزایش تعداد شبکه در ناحیه لایه مرزی تغییر چشمگیری در نتیجه نداشته است.

در نزدیک دیواره‌ها، فاصله اولین نقطه شبکه تا دیواره اثر زیادی بر دقت محاسبه تنفس برشی و اثرات لزجت سیال دارد. البته از آنجاکه در برنامه فلوئنت می‌توان از توابع دیواره برای حل استفاده نمود، ضرورت ریزکردن شدید شبکه در نزدیکی دیواره از بین رفته است و اجازه داده می‌شود که نقاط مجاور مرز دیواره تقریباً کمی دور از دیواره قرار گیرند. این توابع، توابع تجربی‌ای هستند که در نقاط نزدیک دیواره، برای برآورد اثر دیوار بر روی جریان مغذش استفاده می‌شوند. حد مجاز فاصله با درنظر گرفتن این توابع حدود  $0.2$  میلی‌متر برای این مدل درنظر گرفته شده است که میزان  $2^+$  را در محدوده  $50$  میلی‌متر برای محاسبه می‌نماید. کیفیت شبکه در اطراف سیلندر در شکل ۱۵ نشان داده شده است. پس از تولید شبکه محاسباتی، معادلات انتگرالی بقای جرم و مومنتوم با استفاده از روش‌های تفکیک حجم کنترلی در میدان محاسباتی، به وسیله نرم‌افزار فلوئنت حل می‌شود.

معادلات و مدل‌های فیزیکی در این مسئله براساس جریان قابل تراکم درنظر گرفته شده است. برای جریان‌های قابل تراکم، قانون گاز ایده‌آل به عنوان یک رابطه مناسب برای چگالی انتخاب شده است. همچنین، مقادیر فشار شرایط کاری معادل  $10^{13.25}$  پاسکال درنظر گرفته شده است. در این مسئله لزجت به صورت مقدار ثابت  $10^{-5} \times 10^{1/7894}$  کیلوگرم بر متر- ثانیه کاربرد دارد. برای شبیه‌سازی جریان مغذش از مدل  $4-8$  استاندارد که دارای قابلیت‌های اثبات شده در مسائل مهندسی مشابه این تحقیق است، استفاده شده است. این مدل از مدل‌های دو معادله‌ای است که بر فرض بوزینسک استوار است و بر مبنای آن تنش رینولدز با گرادیان سرعت متوسط جریان مناسب است. در این پرتوگزه براساس هندسه و نوع تحلیل، شرایط مرزی فشار دور دست، صفحه تقارن و دیواره به کار رفته‌اند.

با توجه به این که در این مدل از شبکه باسازمان استفاده شده است و در ناحیه لایه مرزی تا حد زیادی خطوط شبکه بر



شکل (۱۳): تصویر شیلیرین از شکل گیری حباب جدایش در جریان اطراف سر سیلندر از نمای نزدیک.

## ۶- شبیه‌سازی عددی

محموله در مسیر پرواز خود شرایط پروازی مختلفی را از عدد ماخ و زاویه حمله تجربه می‌کند. این شرایط ایجاب می‌کند تا بررسی‌های آیرودینامیکی در حالات مختلفی از پرواز درنظر گرفته شود. از آنجایی که آزمایش‌های تونل باد هزینه بالایی را دربرخواهد داشت، بررسی تمامی شرایط پروازی در آزمایش‌های تونل باد امکان پذیر نخواهد بود. از این‌رو در این مرحله از روش‌های عددی برای تعیین مشخصات آیرودینامیکی کپسول فضایی سیلندری شکل استفاده شده است.

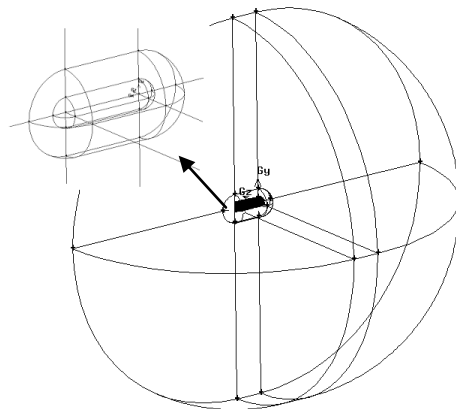
شبیه‌سازی عددی به صورت جریان پایا و سه‌بعدی و با استفاده از حل معادلات ناویر-استوکس، توسط نرم‌افزار فلوئنت انجام شده است. در این مدل از حل کننده چگالی پایه استفاده شده است.

ابعاد مدل عددی که در جدول ۱ ارائه شده با ابعاد اصلی کپسول یکسان است. با توجه به این که هندسه جسم از اندازه بزرگی برخوردار است، برای بهینه‌تر شدن زمان محاسباتی لازم برای حل میدان جریان، از خاصیت تقارن آن در حل استفاده شده و تنها نیمی از سیلندر مدل شده است. دامنه حل عددی مطابق شکل ۱۴ به شکل نیم کره درنظر گرفته شده است. شعاع دامنه محاسباتی  $10$  برابر طول کپسول درنظر گرفته شده تا شوک ایجاد شده با مرز میدان برخورد نکند. در شکل ۱۴ مشاهده می‌شود که بلوک‌های جدگانه‌ای اطراف سیلندر، به منظور افزایش کیفیت شبکه بر سطح مهم، درنظر گرفته شده است. این حجم جدگانه نتایج بهتری را در ضریب منظری و نسبت اریبی زوایای اضلاع هر سل می‌دهد که درنتیجه

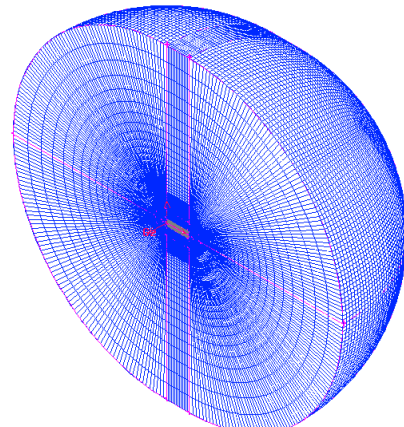
کانتور ماخ و فشار جریان حول سیلندر در صفحه تقارن برای ماخ  $1/79$  در شکل های ۱۶-۱۷ نشان داده شده است. همان طور که مشاهده می شود، در قسمت جلوی سیلندر، سیال مافوق صوت به واسطه اعمال شتاب منفی ناشی از وجود جسم و سرعت پایین در نقطه سکون، دچار شوک شده است. این شوک به دلیل هندسه پخ سرسیلندر، به صورت کمانی است و از قوانین شوک کمانی تبعیت می کند. در همین ناحیه سرعت سیال به کمترین مقدار در نقطه سکون می رسد. همان طور که در جریان قسمت جلوی سیلندر مشاهده می شود با عبور از شوک، فشار استاتیک از مقدار فشار اتمسفر در جریان آزاد، افزایش یافته و به حدود مقدار فشار نسبی  $3/8$  اتمسفر در صفحه مقابل به جریان رسیده است. بر عکس سرعت از ماخ  $1/79$  به مقادیر بسیار کم در محدوده زیر صوت کاهش یافته است. این محدوده ناحیه ای است که به واسطه اعمال شتاب منفی ناشی از وجود جسم در جریان سیال، سرعت و عدد ماخ کاهش داشته و در نتیجه فشار استاتیک افزایش پیدا می کند. بعد از ناحیه سکون و چرخش جریان به سمت بدنه، امواج انبساطی در جریان پدید می آید. با پیش روی سیال و عبور آن از روی حباب جدایش و برخورد مجدد آن به سطح بدنه، شوک ثانویه ای روی بدنه ایجاد می شود. در نهایت جریان لایه مرزی روی بدنه با جریان مرده<sup>۱</sup> پشت بدنه مواجه می شود که عامل ایجاد یک جریان چرخشی با سرعت بسیار کم در ناحیه پشت سیلندر شده و پس ای پشت<sup>۲</sup> را افزایش می دهد.

**۷- مقایسه نتایج حل عددی با نتایج آزمایش تونل باد**  
یکی از اهداف اصلی این تحقیق، صحه گذاری روش عددی در حل جریان حول کپسول فضایی سیلندری با سر پخ است. در این قسمت از نتایج آزمایش های تونل باد برای اعتبارسنجی نتایج حل عددی استفاده شده است. برای این منظور مقایسه در دو مرحله صورت گرفته است؛ مرحله اول بررسی دقت حل عددی در تخمین ضرایب آیرودینامیکی است و مرحله دوم مقایسه ساختار جریان عبوری مافوق صوت روی بدنه سیلندر است که از طریق آشکارسازی جریان انجام می شود.  
نمودار شکل ۱۸ ضریب نیروی محوری حاصل از نتایج حل عددی را با داده های آزمایش تونل باد در سرعت های مختلف مقایسه نموده است. ضریب نیروی پس ای محوری از آن جهت

جریان عمود است، به منظور همگرایی بهتر در ابتدا از مجزا سازی مرتبه یک استفاده شده است و بعد در پایان هر حل، تعدادی تکرار با دقت مرتبه دو انجام شده است. معیار همگرایی، رسیدن باقی مانده حل عددی به مرتبه بیشتر از  $10^{-4}$  برای مؤلفه های سرعت و غیره و همچنین، برقراری بالанс جرمی بین مراتزهای ورودی و خروجی که با انتگرال گیری دبی جرمی روی این مراتزها در هر تکرار بررسی می شود، در نظر گرفته شده است.



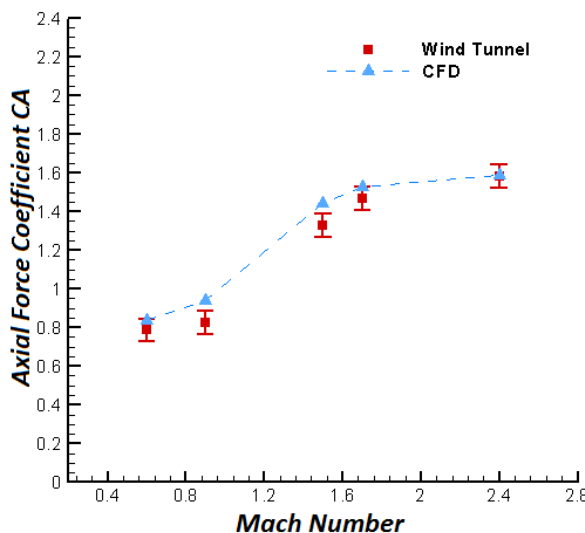
شکل (۱۴): بلوك بندی میدان حل اطراف مدل سه بعدی کپسول سیلندری.



شکل (۱۵): کیفیت شبکه بندی سه بعدی حول کپسول سیلندری از نمای صفحه تقارن.

جدول (۴): بررسی استقلال از شبکه در ماخ  $1/5$  و زاویه حمله صفر.

تعداد شبکه (میلیون)	۱/۳	۳	۴
ضریب پس ای محوری	۱/۵۳۵	۱/۴۴۳	۱/۴۴۷

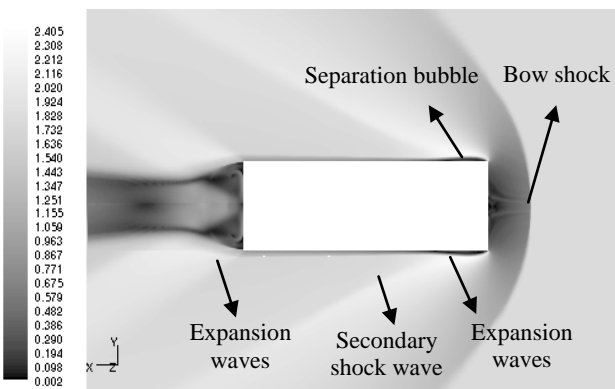


شکل (۱۸): مقایسه ضریب نیروی محوری حل عددی و آزمایش تونل باد در زاویه حمله صفر.

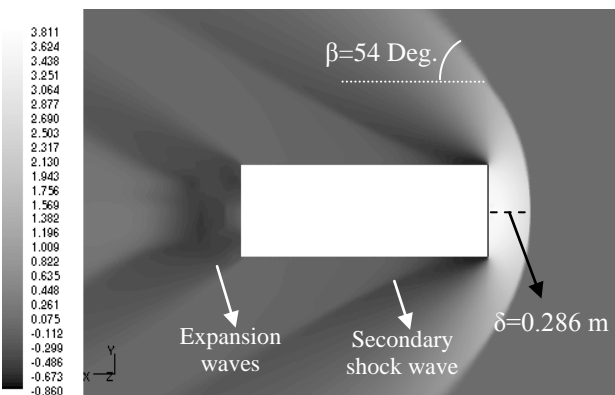
در مرحله بعد برای مقایسه بین نتایج حل عددی و آزمایش تونل باد، ساختار جریان عبوری از روی سیلندر آشکارسازی شده و نتایج آن از لحاظ تشکیل امواج شوک، موقعیت و کیفیت شکل‌گیری امواج شوک و ناحیه جدایش جریان با یکدیگر مقایسه شده است. شکل ۱۹ تصویر شیلیرین مربوط به آزمایش تونل باد و تصویر کانتورهای فشار مربوط به حل عددی را در ماخ  $1/79$  در مقابل یکدیگر نشان می‌دهد. همان‌طور که مشاهده شده می‌شود، شوک منفصل در فاصله‌ای مشخص از لبه حمله سیلندر اتفاق افتاده است. تخمین فاصله شوک منفصل از لبه حمله سیلندر در حل عددی در مقایسه با تصویر شیلیرین از دقت خوبی برخوردار است و در محل تشکیل شوک تطبیق مناسبی بین تصاویر وجود دارد.

شکل ۲۰ نیز آشکارسازی جریان را در لبه سیلندر در ماخ  $1/79$  از نمای نزدیک نشان می‌دهد. نیمی از این شکل، تصویر شیلیرین و نیمی دیگر کانتور سرعت بر حسب ماخ است که برای مقایسه بهتر در کنار یکدیگر رسم شده است. در این تصویر انطباق کامل موج شوک کمانی در تونل باد و حل عددی که در فاصله‌ای مشخص و مساوی از لبه حمله سیلندر قرار گرفته، از نمای نزدیک تر کاملاً مشخص است. علاوه بر این، روی بدن سیلندر حباب جدایشی تشکیل شده است که معادل آن در تصویر کانتور ماخ به صورت ناحیه کم سرعت مشخص است. از سوی دیگر همان‌طور که در بخش قبل شرح داده شد، سرعت جریان در حین عبور از روی حباب جدایش و برخورد مجدد آن به سطح چهار شوک ثانویه‌ای در این ناحیه می‌شود. موقعیت

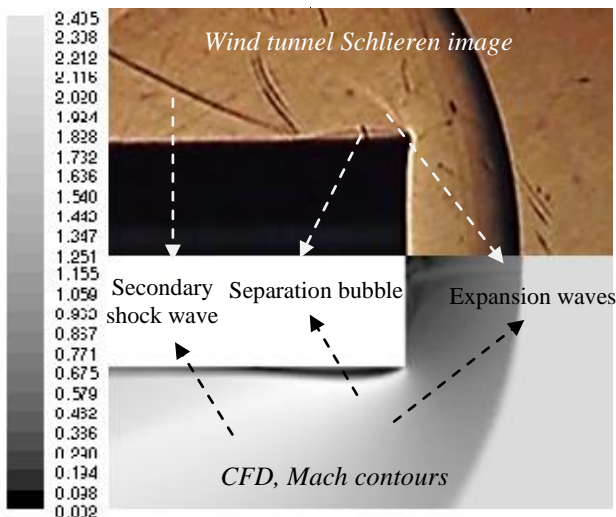
که سهم اصلی را در کاهش سرعت کپسول فضایی از سرعت مافوق صوت به مادون صوت در فاز بازگشت به زمین ایفا می‌کند، حائز اهمیت است. همان‌طور که مشاهده می‌شود نتایج حل عددی با دقت بسیار خوبی با نتایج تونل باد مطابقت دارد و خطای متوسط در حدود  $6\%$  درصد است. بیشترین مطابقت در ماخ  $2/4$  مشاهده می‌شود که مقادیر حل عددی و روش تجربی زیر  $1\%$  با یکدیگر اختلاف دارند. با کم شدن سرعت و نزدیک شدن سرعت به ماخ گذر صوت نتایج حل عددی انحراف بیشتری را نسبت به نتایج تونل باد نشان می‌دهند. به عنوان نمونه در ماخ  $0/9$  که سرعت گذر صوت است اختلاف به حداقل مقدار خود می‌رسد. پس از آن در جریان زیر صوت شرایط متفاوت می‌باشد. همان‌طور که در ماخ  $0/6$  مشاهده می‌شود نتایج حل عددی با اختلاف  $6\%$  درصد نسبت به نتایج تونل باد محاسبه شده است که تطابق بسیار خوبی را نشان می‌دهد.



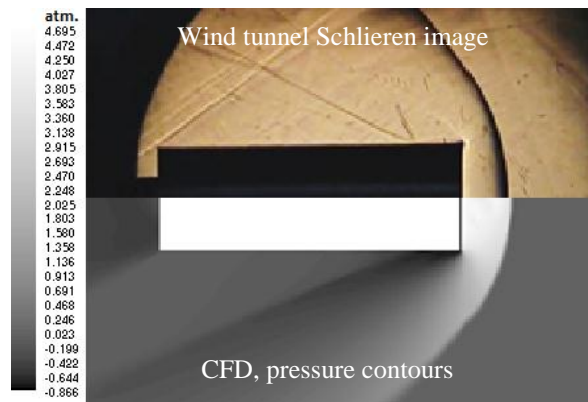
شکل (۱۶): کانتور ماخ جریان حول سیلندر در ماخ  $1/795$ ، از نمای جانبی.



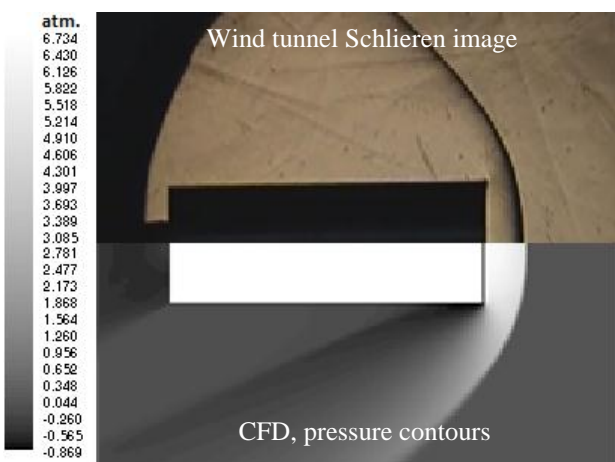
شکل (۱۷): کانتور فشار جریان حول سیلندر در ماخ  $1/795$  از نمای جانبی.



شکل (۲۰): مقایسه کانتور ماخ حل عددی با تصویر شیلیرین تست تجربی از نمای نزدیک در ماخ ۱/۷۹.



شکل (۲۱): مقایسه کانتور فشار نسبی جریان از حل عددی با تصویر شیلیرین تست تجربی در ماخ ۱/۹۸.

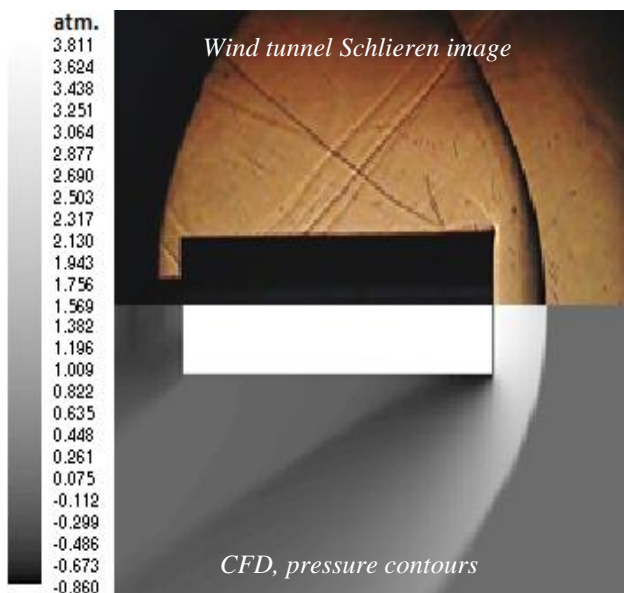


شکل (۲۲): مقایسه کانتور فشار نسبی جریان از حل عددی با تصویر شیلیرین تست تجربی در ماخ ۲/۳۵.

شوك ثانویه در هر دو تصویر شیلیرین و کانتور ماخ کاملاً بر یکدیگر منطبق است.

موارد مطرح شده برای شکل‌های ۲۱-۲۲ که به ترتیب برای ماخ ۱/۹۸ و ۲/۳۵ ارائه شده نیز قابل بررسی است. برای این تصاویر فاصله شوك از لبه حمله سیلندر قابل اندازه‌گیری بوده و مقادیر آن در شرایط مختلف در جدول ۵ نشان داده شده است. در جدول ۵، فاصله شوك منفصل از لبه حمله سیلندر  $\delta$  نسبت به قطر سیلندر  $D$  بی بعد شده و به صورت  $\delta/D$  نمایش داده شده است. نمودار شکل ۲۳ برای مشاهده روند تغییرات و مقایسه بهتر رسم شده است. همان طور که مشاهده می‌شود حل عددی محل قرارگیری شوك منفصل را کمی بیشتر از آزمایش تونل باد تخمین زده است. به عنوان نمونه فاصله شوك منفصل بدست آمده از حل عددی در ماخ ۱/۹۸ در حدود ۵ درصد نسبت به تست تونل باد بیشتر است.

تخمین صحیح موقعیت شوك کمانی و قدرت آن در محاسبات مربوط به نیروهای آیرودینامیکی، پایداری، انتقال حرارت و میزان گرمایش آیرودینامیکی تولید شده و همچنین، محاسبات مربوط به حفاظت‌های حرارتی و طراحی پوشش‌های فداشونده و عایق بسیار اهمیت دارد. حل عددی ارائه شده در این تحقیق توانسته با دقت خوبی این پدیده را پیش‌بینی نماید.



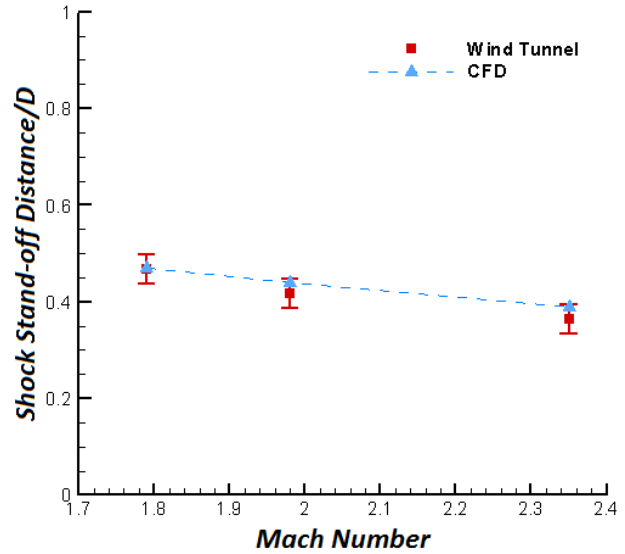
شکل (۱۹): مقایسه کانتور فشار نسبی جریان از حل عددی با تصویر شیلیرین تست تجربی در ماخ ۱/۷۹.

نتایج آشکارسازی جریان تطابق خوبی در تخمین موقعیت و شکل شوک منفصل با شبیه‌سازی عددی نشان داد؛ به‌گونه‌ای که خطای تخمین فاصله شوک تا بدنه بین ۱ تا ۶ درصد مشاهده شد. همچنین، مقایسه الگوی جریان توسعه یافته روی سیلندر در دو روش تجربی و عددی نشان داد، ناحیه سکون جریان، ناحیه حباب جدایش و سایر امواج ضربه‌ای کاملاً بر هم منطبق شده‌اند و در نتیجه مدل‌سازی عددی دقت خوبی را در شبیه‌سازی جریان حول کپسول سیلندری پخت نشان می‌دهد. در نتایج ارائه شده آشکارسازی جریان در آزمایش تونل باد، با افزایش ماخ از  $1/7$  تا  $2/35$ ، فاصله شوک کمانی منفصل ۸ نسبت به لبه حمله سیلندر، به میزان ۲۲ درصد کاهش یافته است. همچنین، زاویه انحراف موج  $\beta$  نیز نسبت به سطح بدنه سیلندر  $25$  درصد مایل‌تر شده که انحراف بیشتری در جریان ایجاد می‌کند. نزدیک شدن این شوک به بدنه با توجه به نتایج، افزایش فشار قابل توجهی را در ناحیه سکون در جلوی جسم به همراه دارد که این خود عامل افزایش چشم‌گیر در ضربی پسا است.

بدنه سیلندری با سر پخ و ضربی لاغری پایین، نیروی پسای محوری در حدود  $3$  برابر بیشتر از بدنه‌های سیلندری باریک با دماغه از خود نشان می‌دهد. همچنین، نتایج نشان داد که ضربی نیروی محوری  $C_A$  در زاویه حمله صفر درجه با افزایش ماخ از  $0/3$  به  $2/4$  در حدود  $119$  درصد افزایش یافته است. این درحالی است که مقادیر ضربی نیروی محوری  $C_A$  در زوایای حمله کمتر از  $30$  درجه تقریباً ثابت است. این ویژگی سبب می‌شود در بازه قابل توجهی از زاویه حمله یعنی  $30$ - $0$  درجه، از حداکثر نیروی پسا در هر ماخ جهت کاهش سرعت کپسول بهره برد. بررسی ضربی ممان پیچشی  $C_M$  کپسول نشان داد  $C_M$  برای سرعت‌های مختلف در زاویه حمله مثبت، دارای مقادیر منفی و همچنین شیب منفی نیز است که این نشان دهنده پایداری استاتیکی بدنه سیلندری است. با افزایش سرعت جریان در محدوده مادون‌صوت و گذرصوتی، مقدار ممان پیچشی در جهت منفی افزایش می‌یابد که پایداری استاتیکی بیشتری را به همراه دارد.

## ۹- تشکر و قدردانی

نویسنده این مقاله بر خود واجب می‌داند تا از دکتر عبدالعلی حقیری و مهندس سجاد درستی که در آزمایشات تونل باد همکاری نموده‌اند و همچنین دکتر محمد ابراهیمی که زحمت



شکل (۲۳): مقایسه نتایج حل عددی با داده‌های آزمایش تونل باد در فاصله شوک منفصل  $\delta/D$ .

جدول (۵): فاصله شوک منفصل از لبه حمله سیلندر نسبت به قطر سیلندر  $\delta/D$ .

ماخ	$\delta/D$ آزمایش تونل باد	$\delta/D$ حل عددی
$1/79$	$0/467$	$0/47$
$1/98$	$0/417$	$0/44$
$2/35$	$0/365$	$0/39$

## ۸- نتیجه‌گیری

در این مقاله، مشخصات آیرودینامیکی یک بدنه سیلندری با سر پخ و نسبت طول به قطر  $3$  با استفاده از آزمایش‌های تجربی و شبیه‌سازی عددی مورد مطالعه قرار گرفت. این بدنه سیلندری، مدل ساده‌شده یک کپسول فضایی با طراحی جدید است به‌گونه‌ای که می‌تواند بدون استفاده از ابزارهای کنترل فعال پیچیده و پرهزینه، مأموریت فضایی حساس خود را در فضا انجام دهد و با به کارگیری سطوح کنترلی ساده بدون چرخش و دوران شدید به زمین باز گردد. داده‌برداری‌های تجربی از ضربی نیرویی و ممان پیچشی به‌وسیله یک بالانس شش مؤلفه‌ای جاسازی شده درون مدل، در محدوده ماخ  $0/3$  تا  $2/4$  در زوایای حمله صفر تا  $90$  درجه انجام شد. همچنین، آشکارسازی جریان به‌وسیله تصویربرداری شیلیرین برای مشاهده امواج فشاری و نواحی جدایش و همچنین، پدیده‌های فیزیکی حاکم بر جریان در تونل باد به‌منظور اعتباربخشی بهتر نتایج عددی انجام شد.

- Engineering and Advance Technology, Esfahan, Iran, 2012 (in Persian).
15. Etemadi, F., Abdolahi, S., and Ebrahimi, M. "Aerodynamic Assessment of Several Blunt Body Configurations", The 11th Annual Conference of Iranian Aerospace Society, Tehran, Iran, 2012 (in Persian).
  16. Abdolahi, S. and Ebrahimi, M. "Experimental Investigation of Aerodynamic Characteristics of a Circular Cylinder in an Axial Flow", The 4th International Conference on Experimental Fluid Mech., Beihang Univ., Beijing, China, 2014.
  17. Hoseini, S.A., Noori, S., and Ebrahimi, M. "Aerodynamic Heating Analysis of Payload and External Components during Re-entry Phase", Int. Conf. of the Mech. Engineering and Advanced Tech., Islamic Azad Univ., Isfahan, 2012 (In Persian).
  18. Abdolahi, S. and Ebrahimi, M., "Flow Visualization of Axial Flow over Cylindrical Body", 23rd Annual Int. Mech. Engineering Conf., Tehran, Iran, 2015 (in Persian).
  19. Abdolahi, S. and Ebrahimi, M. "Investigation of Aerodynamic Characteristics of Cylindrical Body Using Wind Tunnel Test", The 14th Annual Conference of Iranian Aerospace Society, Tehran, Iran, 2015 (in Persian).
  20. Abdolahi, S. and Ebrahimi, M. "A Numerical Investigation of Deployable Drag Surfaces Used for Recovery System", Computational Methods and Experimental Measurements XV, WIT Transaction on Modeling and Simulation, Vol. 51, pp. 193-304, UK, 2011.
  21. Ericsson, L.E. and Beyerst, M.E. "Flat Spin of a Circular Cylinder", J. Aircraft, Vol. 33, No. 4, pp. 722-729, 1996.
  22. Kubota, H. and Arai, I. "Flat Spin of Slender Bodies at High Angles of Attack", Journal of Spacecraft, Vol. 20, No. 2, pp. 108-114, 1983.
  23. Anderson, J.D. "Modern Compressible Flow: with Historical Perspective", Third Edition, pp. 165-166, McGraw-Hill, New York, 2003.
  24. Anderson, J.D. "Fundamentals of Aerodynamics", Third Edition, pp. 530-531, McGraw-Hill, New York, 2001.
  25. Bradford, J.E. and Olds, J.R. "Thermal Protection System Sizing and Selection for RLVs, Using the Sentry Code", The 42nd AIAA/ASME/SAE/ASEE Joint Propulsion Conference and Exhibit, AIAA 2006-4605, 2006

مسئولیت پروژه کاوشگرهای فضایی و آزمایش تونل باد را به عهده داشته‌اند، تقدیر و تشکر نماید.

#### ۱۰- مراجع

1. Blevins, R.D. "Applied Fluid Dynamics Handbook", Van Nostrand Reinhold Company, NY, 1984.
2. Ota, T. "An Axisymmetric Separated and Reattached Flow on a Longitudinal Blunt Circular Cylinder", J. Appl. Mech, Vol. 4, No. 2, pp. 311-315, 1975.
3. Ota, T. and Motegi, H. "Turbulence Measurements in an Axisymmetric Separated and Reattached Flow Over a Longitudinal Blunt Circular Cylinder", J. Appl. Mech., Vol. 47, No. 1, pp. 1-6, 1980.
4. Kiya, M., Mochizuki, O., and Tamura, T., "Turbulence Properties of an Axisymmetric Separation and Reattaching Flow", AIAA J., Vol. 29, No. 6, pp. 936-941, 1991.
5. Halim, A. and Ghia, U. "Longitudinal Flow along Circular Cylinder and Thick Plates", Including Blunt Leading-Edge Separation, AIAA J., Vol. 25, No. 5, pp. 655-658, 1987.
6. Ota, T. and Kon, N. "Heat Transfer in an Axisymmetric Separated and Reattached Flow over a Longitudinal Blunt Circular Cylinder", J. Heat Transfers, Vol. 99, No. 1, pp. 155-157, 1977.
7. Hoerner, S. "Fluid Dynamic Drag", pp. 3-12, 1958.
8. Rogers, R.M. and Butler, C.B. "Aerodynamics Characteristics of Several Bluff Body Configurations at Subsonic and Transonic Mach Numbers", AFATL TR-72-25, 1972.
9. Higuchi, H., Langen, P.V., Sawada, H., and Tinney, C.E. "Axial Flow over a Blunt Circular Cylinder with and without Shear Layer Reattachment", Journal of Fluids and Structures, Vol. 22, No. 6, pp. 949-959, 2006.
10. Blake, W. and Cunningham, T. "Wind Tunnel Study of a Fin Stabilized Guided Projectile", The 44th AIAA Aerospace Sciences Meeting and Exhibit, AIAA 2006-828, 2006.
11. Higuchi, H., Sawada, H., and Langen, P.V. "Flow over a Magnetically Suspended Cylinder in an Axial Free Stream", The 43rd AIAA Aerospace Sciences Meeting and Exhibit, AIAA-2005-1078, 2005.
12. Higuchi, H., Sawada, H., and kato, H. "Sting-Free Measurements on Magnetically Supported Right Circular Cylinder Aligned with the Free Stream", J. Fluid Mech., Vol. 596, No. 1, pp. 49-72, 2008.
13. Rosema, C. and Riddle, D. "Aerodynamic Assessment of Several Blunt Body Configurations", The 47th AIAA Aerospace Sciences Meeting Including the New Horizons Forum and Aerospace Exposition, AIAA 2009-910, 2009.
14. Abdolahi, S., Etemadi, F., and Ebrahimi, M. "Study on 3D Compressible Flow around the Cylindrical Body", International Conference on Mechanical